

КРАТКИЕ СООБЩЕНИЯ

УДК 541.124

К КИНЕТИКЕ ВОСПЛАМЕНЕНИЯ СМЕСИ ВОДОРОДА
И ЗАКИСИ АЗОТА В УДАРНЫХ ВОЛНАХ

B. И. Головичев, Р. И. Солоухин

(Новосибирск)

Ранее [1—5] было показано, что использование закиси азота N_2O в качестве окислителя в реакциях высокотемпературного окисления позволяет реализовать условия «контролируемого» ввода в реагирующую систему атомарного кислорода.

Механизм реакции при окислении водорода и коэффициенты скоростей элементарных стадий приведены в таблице. Термические условия влияют на ход реакций, определяя суммарную скорость образования атомарного кислорода через «конкурирующие» стадии

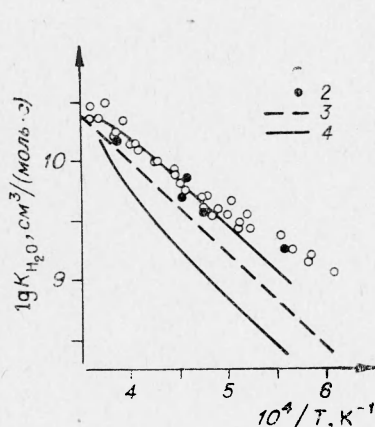
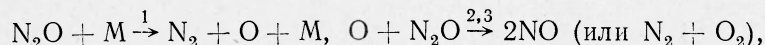


Рис. 1. Сравнение экспериментально измеренной скорости разложения N_2O в смеси с водородом с расчетной при вариации коэффициента скорости K_5 :
1, 2 — эксперимент [1, 2]; 3 — расчет [11];
4 — расчетные данные настоящей работы: верхняя кривая — $K_5=3 \cdot 10^{14} \exp(-10000/RT)$, нижняя — $K_5=4 \cdot 10^{12} \exp(-12000/RT)$. (На оси следует читать $\lg K_{N_2O}$, см³/(моль · с)).

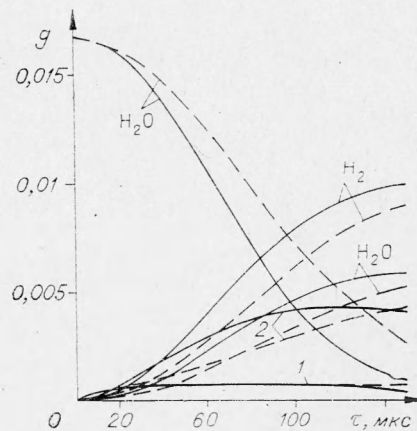


Рис. 2. Профили весового состава реагирующей смеси при различных значениях коэффициента скорости K_5 : (сплошные линии — $K_5=3 \cdot 10^{14} \exp(-10000/RT)$, штриховые линии — $3 \times 10^{14} \exp(-16000/RT)$);
1 — $10 \cdot OH$, 2 — $10 \cdot O$. $T=2000$ К, $p=0,5839$ атм.

Предполагаемый механизм и коэффициенты скоростей реакций

Номер реакции	Реакция	Прямая реакция		Обратная реакция
1	$N_2O + H \longrightarrow N_2 + O + M$	$5 \cdot 10^{14} \exp(-58\ 000/RT)$	—	—
2	$O + N_2O \longrightarrow N_2 + O_2$	$10^{14} \exp(-28\ 000/RT)$	—	—
3	$O + N_2O \longrightarrow 2NO$	$10^{14} \exp(-28\ 000/RT)$	—	—
4	$O + H_2 \rightleftharpoons OH + H$	$10^{13} \exp(-8800/RT)$	$7,33 \cdot 10^{12} \cdot \exp(-7300/RT)$	—
5	$H + N_2O \longrightarrow OH + N_2$	$3 \cdot 10^{14} \exp(-10\ 000/RT)$	—	—
6	$H + O_2 \rightleftharpoons OH + O$	$7,75 \cdot 10^{13} \exp(-14\ 450/RT)$	$1,3 \cdot 10^{13}$	—
7	$OH + H_2 \rightleftharpoons H_2O + H$	$2,3 \cdot 10^{13} \exp(-5150/RT)$	$8,41 \cdot 10^{13} \exp(-21\ 000/RT)$	—
8	$OH + OH \rightleftharpoons H_2O + O$	$1,55 \cdot 10^{12}$	$5,75 \cdot 10^{13} \exp(-18\ 000/RT)$	—
9	$H_2 + O_2 \rightleftharpoons 2OH$	$2,51 \cdot 10^{12} \exp(-39\ 000/RT)$	$3,42 \cdot 10^{14} \exp(-52\ 000/RT)$	—
10	$O + NO \rightleftharpoons N + O_2$	$3,2 \cdot 10^9 \cdot T \exp(39\ 100/RT)$	$1,6 \cdot 10^{10} \cdot T \exp(-7200/RT)$	—
11	$N + NO \rightleftharpoons N_2 + O$	$1,5 \cdot 10^{13}$	—	—
12	$H + H + M \rightleftharpoons H_2 + M$	$4 \cdot 10^{14}$	$2,23 \cdot 10^{12} \cdot T^{0,5} \exp(-92\ 600/RT)$	—
13	$H + OH + M \rightleftharpoons H_2O + M$	$4 \cdot 10^{15}$	$5 \cdot 10^{14} \exp(-105\ 000/RT)$	—
14	$O + O + M \rightleftharpoons O_2 + M$	$2,5 \cdot 10^{13}$	$3 \cdot 6 \cdot 10^{13} \cdot T^{-1} \exp(-118\ 000/RT)$	—
15	$N + O + M \longrightarrow NO + M$	$1,2 \cdot 10^{18} \cdot T^{-1}$	—	—
16	$N + N + M \longrightarrow N_2 + M$	$9 \cdot 10^{17} \cdot T^{-1}$	—	для тримолекулярных

Причение. Размерности коэффициентов скоростей реакций: $\text{см}^3/(\text{моль} \cdot \text{с})$ для бимолекулярных стадий и $\text{см}^6/(\text{моль}^2 \cdot \text{с})$ для тримолекулярных.

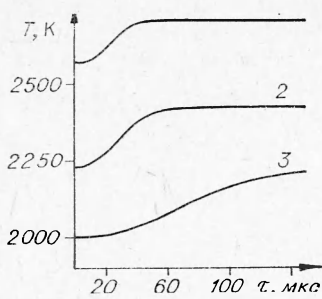


Рис. 3. Профили температуры реагирующей смеси, рассчитанные при рекомендованном значении коэффициента скорости K_5 :

1 — $T=2575$ К, $p=0,467$ атм; 2 — $T=2230$ К, $p=0,7947$ атм; 3 — $T=2000$ К, $p=0,5839$ атм.

дополнительные стадии 15, 16, б) помимо прямых реакций, перечисленных в таблице, в расчетах учтены, где это было возможно, также и обратные реакции и в) проведено варьирование коэффициента скорости и энергии активации прямой реакции (5) с целью получения более близкого совпадения результатов расчета с экспериментальными данными. Коэффициенты скоростей для ряда обратных реакций выбирались в соответствии с рекомендациями [12]. Расчеты на ЭВМ проводились по методике, описанной в [14]. Для иллюстрации на рис. 2 приведены профили концентраций, полученные для двух различных значений скорости реакции (5). Расчетные данные об изменении температуры смеси в ходе реакции (использовалась смесь 0,03 ($\text{N}_2\text{O} + \text{H}_2$) + 0,97 Ar) приведены на рис. 3. Наконец, на рис. 1 вместе с экспериментальными данными о скорости разложения N_2O приведены результаты ее расчета при варьировании скорости реакции (5). Видно, что наиболее близкое совпадение с экспериментом дает значительное (по сравнению с принятой в [11, 13]) уменьшение энергии активации и увеличение коэффициента скорости разложения N_2O .

Основываясь на проведенном сопоставлении, можно рекомендовать следующее выражение для коэффициента скорости реакции (5):

$$K_5 = 3 \cdot 10^{14} \exp(-10000/RT) \text{ см}^3/(\text{моль} \cdot \text{с}).$$

Поступила в редакцию
8/IV 1975

ЛИТЕРАТУРА

1. S. H. Garnett, G. B. Kistiakowsky, B. Y. O'Grady. J. Chem. Phys., 1969, **51**, 84.
2. M. C. Lin, S. H. Bauer. J. Chem. Phys., 1969, **50**, 3377.
3. Р. И. Солоухин. Докл. АН СССР, 1970, **194**, 143.
4. S. C. Baber, A. M. Dean. J. Chem. Phys., 1974, **60**, 307.
5. L. J. Drummond. Combust. Sci. Techn., 1972, **5**, 183.
6. H. A. Olszewski, J. Troe, H. G. Wagner. Ber. Bunseng. Physik. Chem. 1969, **70**, 450.
7. K. Schofield. Planet Space Sci., 1967, **15**, 643.
8. А. А. Борисов. Кинетика и катализ, 1968, **9**, 482.
9. S. C. Barton, J. E. Dove. Canad. Journ. Chem., 1969, **47**, 521.
10. Р. И. Солоухин. Докл. АН СССР, 1972, **207**, 912.
11. H. Henrici, S. H. Bauer. J. Chem. Phys., 1969, **50**, 1333.
12. D. L. Baulch et al. Eval. Kinetic Data for High Temp. React., 1, London, 1974.
13. R. I. Soloukhin. Symp. Comb. 14-th, p. 75, The Combustion Institute, Pittsburgh, 1974.
14. В. И. Головичев. ФГВ, 1973, **9**, 4, 483.